

# LNNA向け回路生成における swapゲート個数最小化問題

東京大学大学院 情報理工学系研究科 電子情報学専攻

長谷川研究室 修士1年 内藤壮俊

# 第一章 テーマ説明

# 量子計算のアプローチ

## ▶ 量子アニーリング型

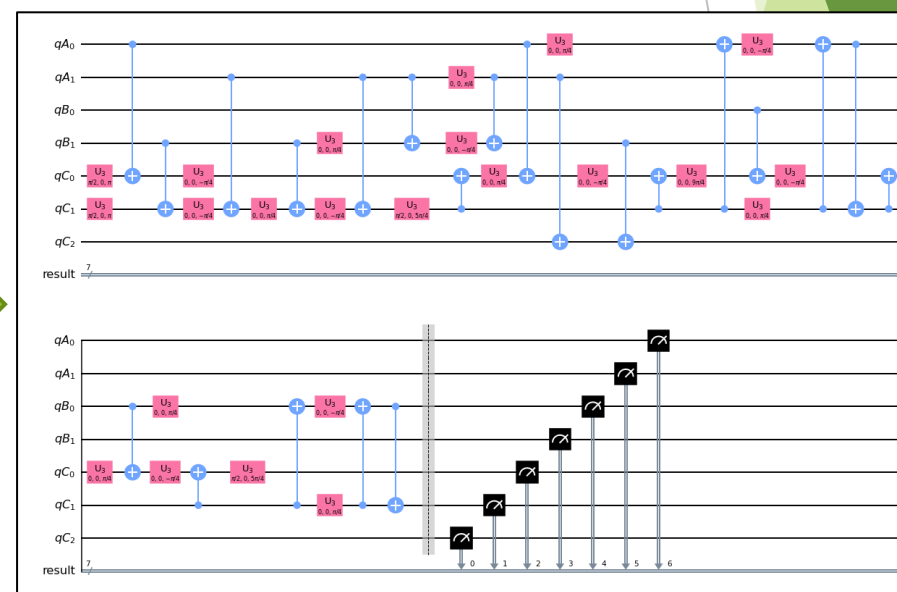
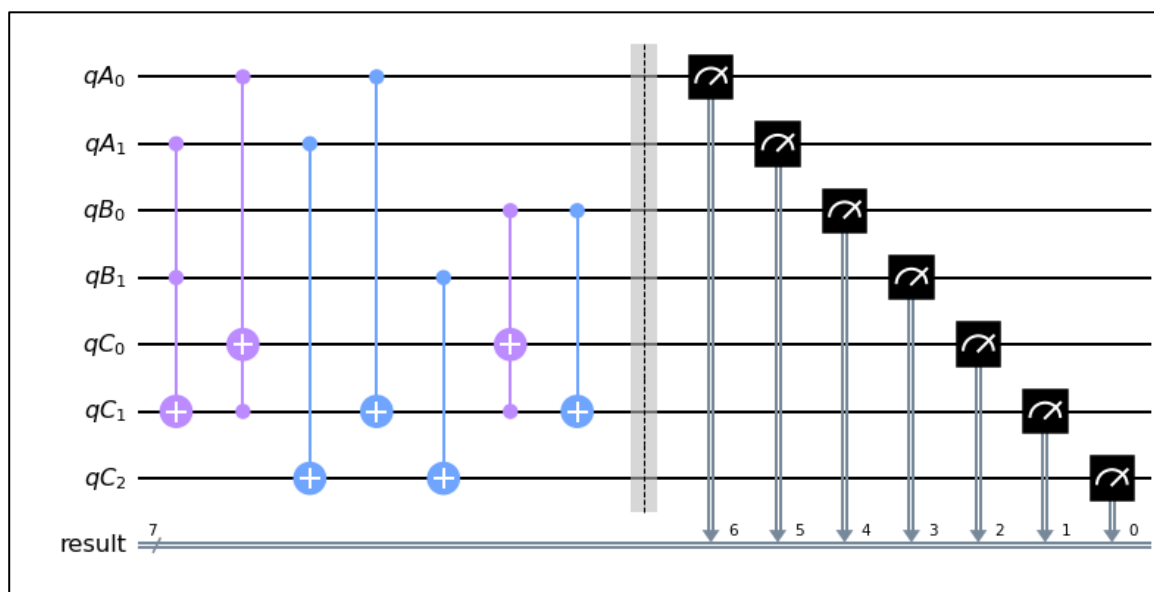
- ▶ 多変数二次関数の最小化問題(組み合わせ最適化)を解ける
  - ▶ それぞれの変数は0か1のどちらかを取る
- ▶ 量子ビットの個数は数千個オーダーと、小～中規模な問題なら実用化可能
- ▶ Fixstars Amplifyで使っているのはこっち

## ▶ 量子ゲート型

- ▶ 汎用計算機. 古典コンピュータも(理論的には)シミュレートできる
- ▶ 量子ビットの個数は非常に少ない(数十個のオーダー)
- ▶ GoogleやIBMが取り組んでいる計算機はこっち
- ▶ 今回扱うテーマはこの話

# 量子回路

- ▶ ゲート通過 = ユニタリ変換 による状態の変化を利用
- ▶ 任意の回路は1入力ゲートと2入力ゲートに展開することができる
- ▶ 2入力ゲートにおけるエラー率は1入力ゲートの10倍程度

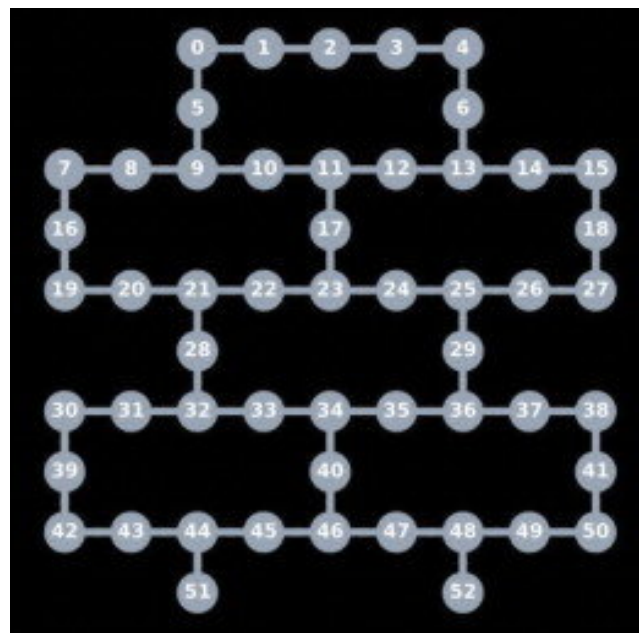


図：IBM Qにて作成した量子回路の例。  
(左：回路設計段階における見た目。 右：1入力ゲートと2入力ゲートに展開した結果。)

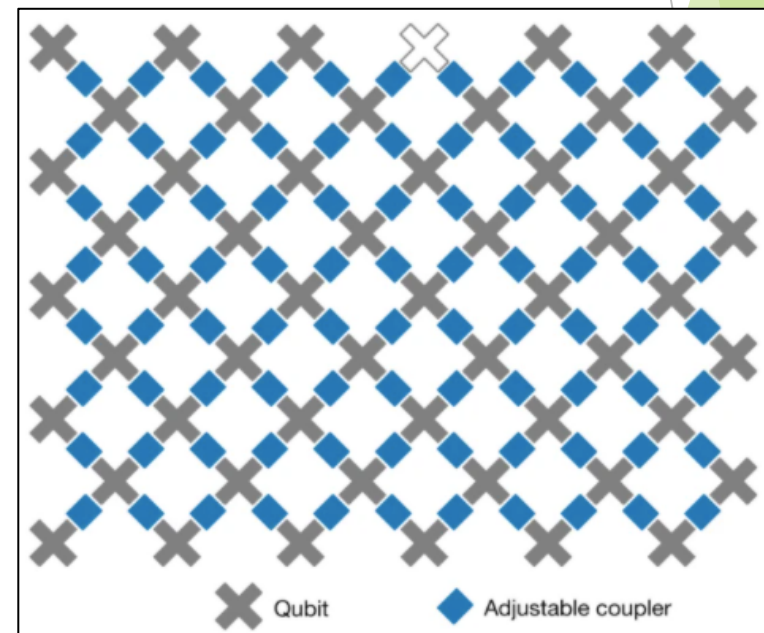
# 量子回路の実機搭載

- ▶ 「設計図上のビット」と「デバイス上のビット」の対応を考える必要がある
- ▶ 2入力ゲートは隣り合う2ビットにしか作用させられない
- ▶ 離れている場合は？
  - ▶ → SWAPゲートを使って入れ替える必要がある

左図：  
IBM「Rochester」における  
量子ビットの配置。



右図：  
Google「Sycamore」における  
量子ビットの配置。

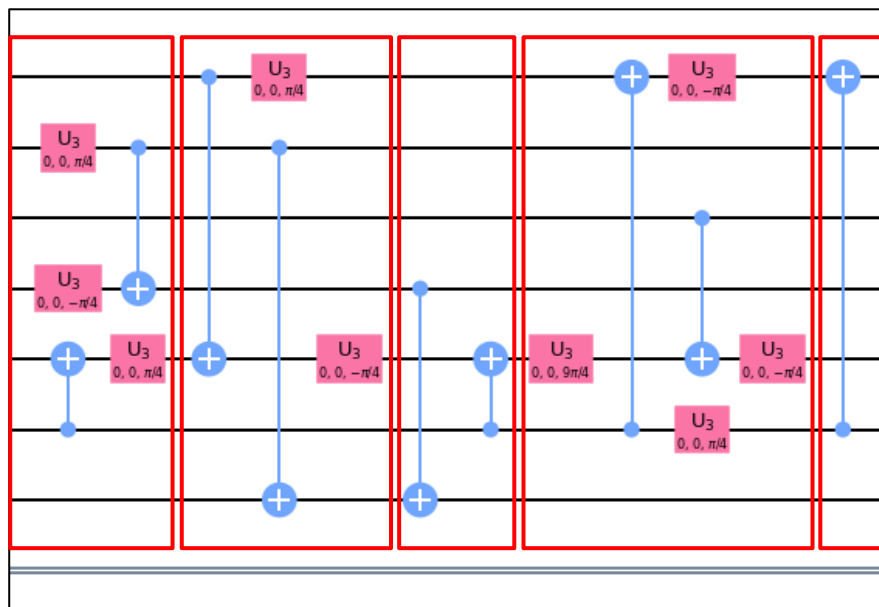


# Linear Nearest Neighbor Architecture

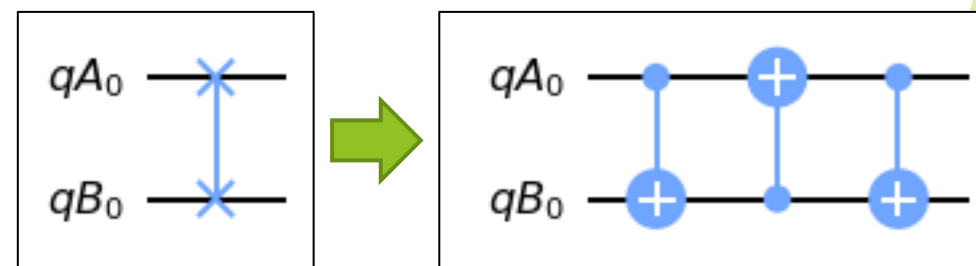
- ▶ 量子ビットが1次元状に並んでいるアーキテクチャのこと
- ▶ SWAPゲートによる並び替えはバブルソートと非常に似ている
  - ▶ 挿入する個数 = バブルソートの交換回数 = 転倒数 となるため, 扱いやすい問題に

# 扱う問題

- ▶ 量子ビットを共有しない2入力ゲートどうしを一つのレイヤーにまとめる
- ▶ 2入力ゲートを含むレイヤーのそれぞれに対し, 量子ビットの配置を決定する
- ▶ 挿入するSWAPゲートの個数を最小化したい
  - ▶ SWAPゲート1つに, CXゲートを3つも使ってしまう



図：レイヤーの構成.



図：SWAPゲートの構成.

# 古典的なアプローチ (動的計画法による高速化)

- ▶ 量子ビットの個数  $N$  に対し, 各レイヤーにおける配置は  $N!$  通り
- ▶ レイヤーの枚数  $M$  に対して, 全体の取りうる状態数は  $(N!)^M$  通り
- ▶ 配置に対する暫定的なコストを持っておくことで,  
空間計算量  $O(M \cdot N!)$ , 時間計算量  $O(M \cdot (N!)^2)$  で解くことができる
- ▶  $N = 10$  で  $(N!)^2 \approx 1.3 \times 10^{13}$  なので, 小規模の回路にしか適用できない.



## 第二章

# とりあえず実装してみる

# バイナリ変数を用いた定式化

- ▶ 各レイヤーにおける量子ビットは  $[0, 1, \dots, N - 1]$  の並び替えとなる
- ▶  $Q_{mnv}$  : 「レイヤー  $m$  における  $n$  番目は, 設計図における  $v$  番目に対応する」
  - ▶  $MN^2$  個の量子ビットが必要
- ▶ one-hot 制約
  - ▶ 「設計図におけるビットは1つのビットに対応する」 :  $\sum_{n=0}^{N-1} Q_{mnv} = 1$
  - ▶ 「レイヤーにおけるビットは1つのビットに対応する」 :  $\sum_{v=0}^{N-1} Q_{mnv} = 1$
- ▶ 2入力ゲートによる制約
  - ▶ 作用させる2ビットは隣り合っていないなければならない
  - ▶ ペナルティ関数 :  $\sum_{(a,b) \in [2\text{-input-gates}]} \sum_{(i,j), |i-j| \geq 2} Q_{mia} Q_{mjb}$

# コスト関数の定式化

- ▶ SWAPゲートの個数 = バブルソートの交換回数 の総和を減らしたい
  - ▶  $A : [3, 0, 4, 1, 2] \rightarrow B : [2, 1, 3, 4, 0]$  の交換回数は？
- ▶  $B = [0, 1, 2, \dots, N - 1]$  なら, 初期配置  $A$  における転倒数を求めれば良い
  - ▶ 転倒数 :  $A_i > A_j$  and  $i < j$  となる組の総数
  - ▶ 全ての組に対して足し合わせればいいので  $O(N^2)$
- ▶  $B = [0, 1, 2, \dots, N - 1]$  とは限らない場合, どう定式化する... ?

# コスト関数の定式化 (初期案)

- ▶ 置換の合成も置換なので,  $(A \rightarrow B) = (C \rightarrow [0, 1, 2, \dots, N-1])$  となる  $C$  を見つけてあげれば良い?
  - ▶  $A: [3, 0, 4, 1, 2] \rightarrow B: [2, 1, 3, 4, 0]$  なら,  
 $C: [2, 4, 3, 1, 0] \rightarrow [0, 1, 2, 3, 4]$  となる
  - ▶ 「 $B$  の配置を  $[0, 1, 2, 3, 4]$  とみなした時の  $A$  の配置」を求める問題
- ▶  $C_{ij} = 1 \Leftrightarrow C[i] = j \Leftrightarrow A[i] = B[j]$ 
  - ▶  $A[i]$  のシンボルと  $B[j]$  のシンボルが等しいかどうか
  - ▶ ベクトルの内積で定式化できる?
  - ▶  $C_{ij} = \sum_{v=0}^{N-1} A_{iv} B_{jv}$

# コスト関数の定式化 (初期案)

- ▶ いくら待っても実行可能解が見つからない.....
- ▶ 何がダメだったか
  - ▶ 制約条件  $C_{ij} = \sum_{v=0}^{N-1} A_{iv} B_{jv}$  は, 2次多項式の形をしている
  - ▶ ペナルティの関数は  $\underbrace{\left(C_{ij} - \sum_{v=0}^{N-1} A_{iv} B_{jv}\right)^2 = 0}_{\text{2次式の2乗} = \text{4次式}}$  となり, 2次以下の多項式で表せない
- ▶ 任意の  $A, B$  間の転倒数は4次多項式で定式化されるので, この厳密な値を組み込むことがそもそも不可能だった

# 第三章

## 転倒数のフィッティング

# 転倒数のフィッティング

- ▶  $A, B$  間の転倒数をどうにかして2次以下で表したい
  - ▶ 厳密解は諦めて, 2次以下でフィッティングを試みる
- ▶ 使える変数
  - ▶ 「同じシンボルがどこからどこへ移動したか」
    - ▶ つまり,  $C_{ij} = \sum_{v=0}^{N-1} A_{iv} B_{jv}$  のこと
    - ▶  $C_{ij}$  の線形和で転倒数を表現したい, という話になる
  - ▶  $B = [0, 1, 2, \dots, N-1]$  とは限らないので, シンボル間の大小関係は使えない
  - ▶ 変数の個数は  $N^2$  個
    - ▶ 対称性の除去により,  $N$  が奇数の時は  $\frac{1}{4}(N+1)^2$  個, 偶数の時は  $\frac{1}{4}(N^2 + 2N)$  個に

# 重回帰分析によるアプローチ

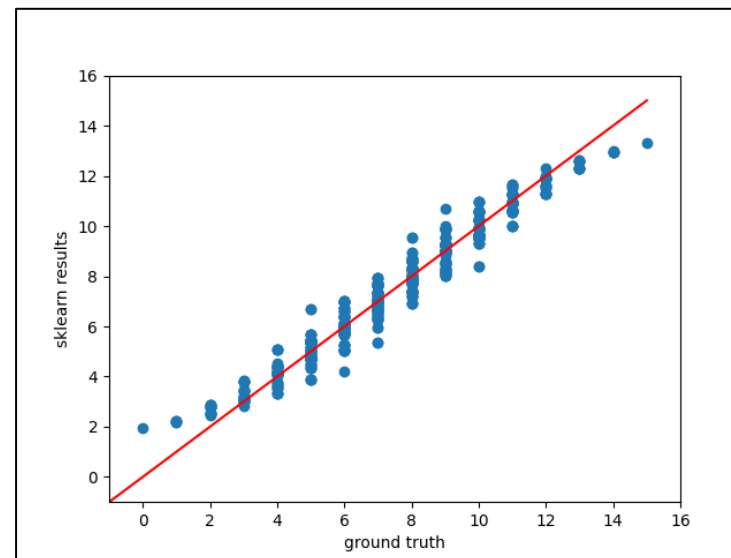
- ▶ 重回帰分析なら scikit-learn でできるので、これで転倒数を推定してみる
- ▶ 係数, 切片ともにすごい値になってしまった

```
coefficient  
[-4.71281238e+12 -1.46172282e+12 -5.40448318e+13 -5.40448318e+13  
 -1.46172282e+12 -4.71281238e+12  1.78936673e+12 -5.07937422e+13  
 -5.07937422e+13  1.78936673e+12 -1.03376851e+14 -1.03376851e+14]  
intercept  
212600593697132.16
```

図：係数, 切片の出力結果.  
 $10^{14}$  オーダーの数字が見られる.

- ▶ でも, プロットしてみると良い感じに見える

図： $N = 6$  の場合の推定結果.  
(横軸：正解 縦軸：推定値)



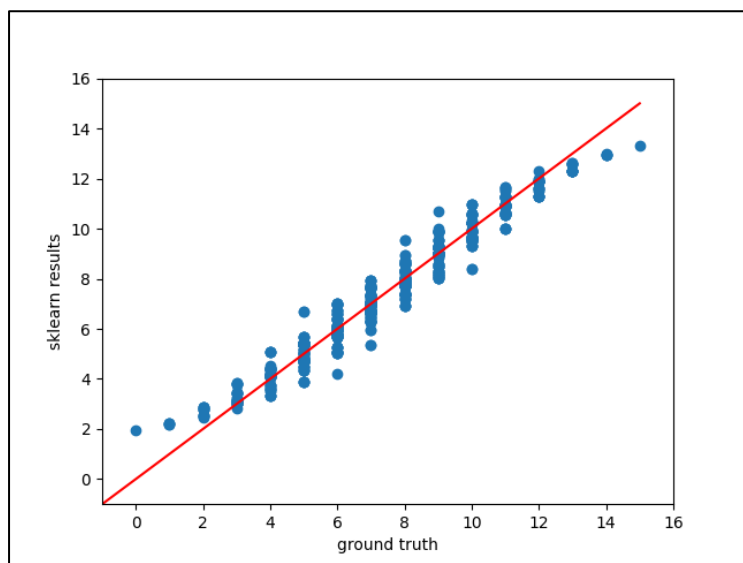


# 期待値によるアプローチ

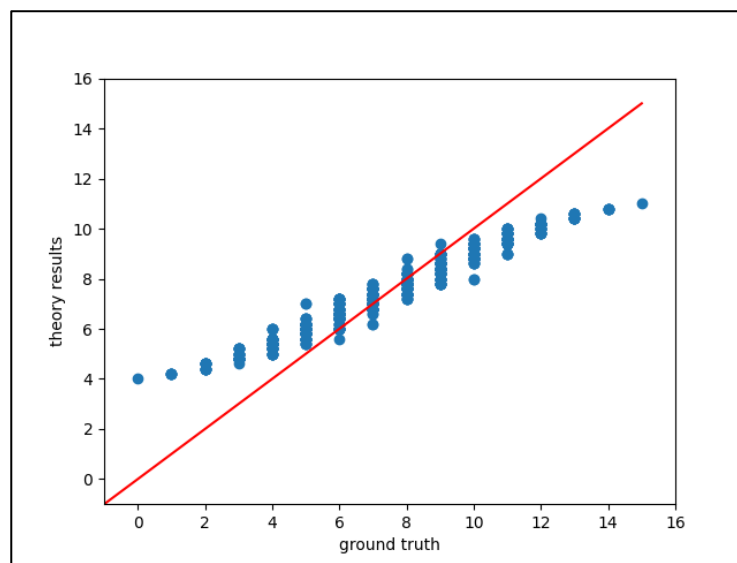
- ▶ ある並び替えにおいて、左から  $i + 1$  番目のシンボルが  $j + 1$  番目に動いた際、他のシンボルと入れ替わっている確率を求める
  - ▶  $A : [3, 0, 4, 1, 2] \rightarrow B : [2, 1, 3, 4, 0]$  なら,  $(i, j) = (1, 4)$
  - ▶ この場合,  $0$  は3つのシンボル  $(1, 2, 4)$  と入れ替わっている
- ▶ 自分以外の  $N - 1$  個のシンボルに対し, 左側  $\rightarrow$  右側 or 右側  $\rightarrow$  左側 と動いた確率を足し合わせ, (重複を考えて) 2で割ると求められる
$$\frac{1}{2}(N - 1) \left\{ \frac{i}{N - 1} \cdot \frac{N - 1 - j}{N - 1} + \frac{N - 1 - i}{N - 1} \cdot \frac{j}{N - 1} \right\} = \frac{i + j}{2} - \frac{ij}{N - 1}$$
- ▶ 転倒数  $\approx \sum_{0 \leq i, j < N} \left( \frac{i + j}{2} - \frac{ij}{N - 1} \right) \cdot c_{ij}$  として予測を行ってみた

# 期待値によるアプローチ

- ▶ のっぺりした分布になってしまった...
- ▶ 一方で、分布の形状は重回帰分析による推定結果に非常に似ている
  - ▶ 両者の間に何か対応が見えるのでは...？



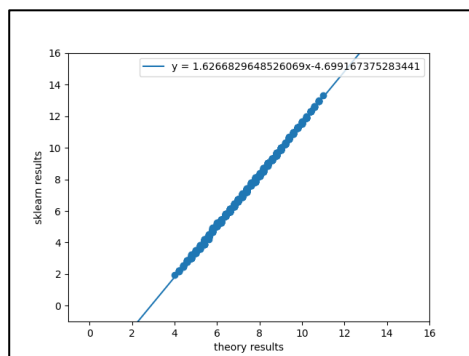
図：重回帰分析による推定結果



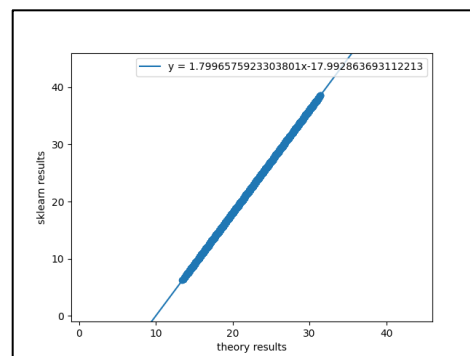
図：期待値による推定結果

# 予測結果の相関を調べる

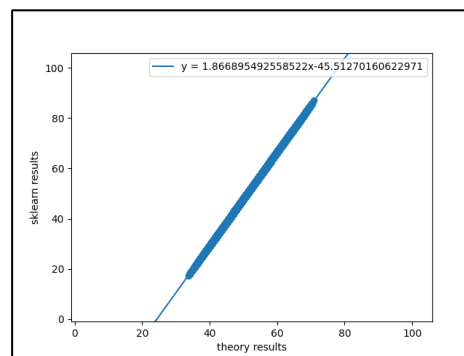
- ▶ 横軸を「期待値による推定」，縦軸を「重回帰分析による推定」としてプロット
- ▶ 下図は，左から  $N = 6$ ,  $N = 10$ ,  $N = 15$ ,  $N = 20$  の場合
  - ▶  $N \geq 10$  に対しては，500000 サンプルをランダムに(復元抽出で)取り出して分析した



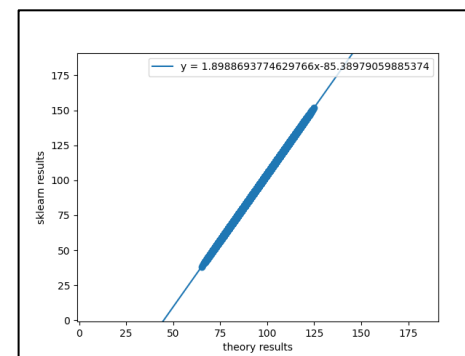
$$y = 1.627x - 4.699$$
$$R^2 = 0.999355$$



$$y = 1.800x - 17.993$$
$$R^2 = 0.999956$$



$$y = 1.867x - 45.513$$
$$R^2 = 0.999978$$



$$y = 1.899x - 85.390$$
$$R^2 = 0.999991$$

- ▶ 1次関数の関係になっていると言える ( $1 - R^2$  は縦軸の計算誤差によるものか)

# 転倒数の推定

- ▶ 「重回帰分析による推定結果」は、転倒数を一番良く推定できると考えられる
- ▶ 「期待値による推定結果」に1次関数を作用させると、  
「重回帰分析による推定結果」に一致させられることが分かった
- ▶ → 期待値による推定結果だけから「最も良いモデル」を構成できる！
  - ▶ 例えば  $N = 6$  ( $y = 1.627x - 4.699$ ) なら、  
転倒数  $\approx 1.627 \left\{ \sum_{0 \leq i, j < N} \left( \frac{i+j}{2} - \frac{ij}{N-1} \right) \cdot c_{ij} \right\} - 4.699$  として表現できる

# 一次関数の係数についての考察

- ▶ 量子ビットの個数  $N$  に対して, 一次関数は  $y = \frac{2N-2}{N}x - \frac{(N-1)(N-2)}{4}$  と書けそう
  - ▶ しかし, 予想の証明にはまだ至らず...
- ▶ (誤差) = (予測値) - (実測値) として記録

$N$	3	4	5	6	7	8	9	10	15	20
傾き	1.3333	1.5000	1.5987	1.6267	1.6856	1.7425	1.7738	1.7990	1.8664	1.8992
切片	-0.500	-1.500	-2.974	-4.699	-7.196	-10.379	-13.933	-17.975	-45.490	-85.419
傾きの誤差	0	0	-0.0013	-0.0400	-0.0287	-0.0075	-0.0040	-0.0010	-0.0003	-0.0008
切片の誤差	0	0	0.026	0.301	0.304	0.121	0.067	0.025	0.010	0.081

表:  $N$  を動かした時の, 一次関数の傾きと切片の変化.  
誤差は小さく, 上記の予想とおおよそ一致していると言える.

# 転倒数の推定モデルの実装

- ▶ 「同じシンボルがどこからどこへ移動したか」 :  $C_{ij} = \sum_{v=0}^{N-1} A_{iv} B_{jv}$
- ▶ 転倒数  $\approx \left\{ \sum_{0 \leq i, j < N} \left( \frac{i+j}{2} - \frac{ij}{N-1} \right) \cdot C_{ij} \right\}$  に  $y = \frac{2N-2}{N}x - \frac{(N-1)(N-2)}{4}$  を適用
- ▶  $\rightarrow$  転倒数  $\approx \frac{2N-2}{N} \left\{ \sum_{0 \leq i, j < N} \left( \frac{i+j}{2} - \frac{ij}{N-1} \right) \left( \sum_{v=0}^{N-1} A_{iv} B_{jv} \right) \right\} - \frac{(N-1)(N-2)}{4}$  と書ける
  - ▶ 複雑な見た目だけど、ちゃんと2次多項式で表現できている！
- ▶ あとは、この式をもとに目的関数を設計するだけ

# コスト関数の定式化 (改良案)

- ▶ 目的関数：各レイヤー間の転倒数 (の推定値) の和

- ▶ 
$$\sum_{m=0}^{M-1} \left\{ \frac{2N-2}{N} \left\{ \sum_{0 \leq i, j < N} \left( \frac{i+j}{2} - \frac{ij}{N-1} \right) \left( \sum_{v=0}^{N-1} A_{iv} B_{jv} \right) \right\} - \frac{(N-1)(N-2)}{4} \right\}$$
  - ▶ レイヤー  $m$ ,  $m+1$  間においては,  $A_{iv} = Q_{miv}$ ,  $B_{jv} = Q_{(m+1)jv}$  となる
  - ▶  $Q_{mnv}$  : 「レイヤー  $m$  における  $n$  番目は, 設計図における  $v$  番目に対応する」

- ▶ 代入すると, 以下のように整理できる

- ▶ 
$$\underbrace{\sum_{m=0}^{M-1} \left\{ \sum_{0 \leq i, j < N} \frac{(N-1)(i+j)-2ij}{N} \left( \sum_{v=0}^{N-1} Q_{miv} Q_{(m+1)jv} \right) \right\}}_{\text{この部分を最小化したい.}} - \underbrace{(M-1) \frac{(N-1)(N-2)}{4}}_{\text{定数項. 最小化においては無視される.}}$$

この部分を最小化したい.

定数項.  
最小化においては無視される.

# 第四章

## 改良案の実装とその評価



# バイナリ変数を用いた定式化(再掲)

- ▶ 各レイヤーにおける量子ビットは  $[0, 1, \dots, N - 1]$  の並び替えとなる
- ▶  $Q_{mnv}$  : 「レイヤー  $m$  における  $n$  番目は, 設計図における  $v$  番目に対応する」
  - ▶  $MN^2$  個の量子ビットが必要
- ▶ one-hot 制約
  - ▶ 「設計図におけるビットは1つのビットに対応する」 :  $\sum_{n=0}^{N-1} Q_{mnv} = 1$
  - ▶ 「レイヤーにおけるビットは1つのビットに対応する」 :  $\sum_{v=0}^{N-1} Q_{mnv} = 1$
- ▶ 2入力ゲートによる制約
  - ▶ 作用させる2ビットは隣り合っていないといけない
  - ▶ ペナルティ関数 :  $\sum_{(a,b) \in [2\text{-input-gates}]} \sum_{(i,j), |i-j| \geq 2} Q_{mia} Q_{mjb}$

# QUBO形式への変換

- ▶  $cost = \sum_{m=0}^{M-1} \left\{ \sum_{0 \leq i, j < N} \frac{(N-1)(i+j)-2ij}{N} \left( \sum_{v=0}^{N-1} Q_{miv} Q_{(m+1)jv} \right) \right\}$
- ▶  $constraint = \sum_{m=0}^M \left\{ \sum_{v=0}^{N-1} (1 - \sum_{n=0}^{N-1} Q_{mnv})^2 + \sum_{n=0}^{N-1} (1 - \sum_{v=0}^{N-1} Q_{mnv})^2 + \sum_{(a,b) \in [2-input-gates]} \sum_{(i,j), |i-j| \geq 2} Q_{mia} Q_{mjb} \right\}$
- ▶  $model = constraint \times \lambda + cost$  として構成した
  - ▶  $model$  の項数(= モデルの規模)は  $O(MN^3)$  個
- ▶ 制約 >> コストとするために,  $\lambda = 100$  と設定
  - ▶  $N, M$  が大きくなる = コストが大きくなるにつれて,  $\lambda$  も大きくするべきか

# 評価：用いたデータ

- ▶ 2入力ゲートを含むレイヤーを  $M$  枚生成した ( $M = 5$ )
  - ▶ レイヤー1枚あたり,  $1 \sim \left\lfloor \frac{N}{2} \right\rfloor$  個の2入力ゲートを含むように構成
  - ▶ 2入力ゲートの個数, 作用先はランダムに決定
  - ▶ 2入力ゲートどうしで量子ビットの共有は起こらない
- ▶ 古典解法 ( $N \leq 6$ ), Amplify解法 ( $N \leq 26$ ) を10回ずつ試してコストや実行時間を比較した
  - ▶ 実験では,  $timeout = 1\text{ s}$  として実行
  - ▶ コストの比較においては,  $M = 20$  も検討した

# 評価：コスト最小化の性能比較

- ▶ ランダムに生成したデータ10個に対するコストの平均値を記録した
  - ▶ 古典的解法は最適解を出力する(ので, 必ず 古典的解法  $\leq$  Amplify解法 となる)
  - ▶ Amplify解法においては, 出力した結果をもとに厳密なコストを計算した
- ▶  $M = 20$  での誤差が大きくなっている
  - ▶ 転倒数の近似が原因?  $\lambda$  を調整してみる? *timeout* を伸ばす?

$N$	3	4	5	6
古典的解法 ( $M = 5$ )	0.6	1.4	2.1	4.1
Amplify解法 ( $M = 5$ )	0.6	1.4	2.1	4.5
古典的解法 ( $M = 20$ )	3.8	13.0	15.0	24.9
Amplify解法 ( $M = 20$ )	3.8	13.1	18.9	34.0

表：それぞれの解法における  
コストの平均値.

# 評価：実行時間の比較

- ▶  $M = 5$  にて,  $N$  を動かした時の実行時間(秒)を比較した
  - ▶ 古典的な  $O(M \cdot (N!)^2)$  解法では  $N = 7$  が限界だった

$N$	3	4	5	6	7	8	9	10	15	20
古典的解法	0.0007	0.0084	0.4551	8.9532	566.95	—	—	—	—	—
Amplify解法	1.8336	1.8184	1.4685	1.1751	1.2766	1.3620	1.3654	1.6483	6.1014	20.047

表：  $N$  を動かした時の実行時間の比較.  
 $6 \leq N$  においてAmplify解法の方が高速となっている.

- ▶  $N$  が大きくなると, Amplify解法でも時間がかかる傾向に

# 評価：実行時間の内訳

- ▶ Amplify解法に対して、実行時間を以下の3つに分けて測定した
  - ▶ 「準備時間」：量子ビット, 制約条件, コスト関数の生成
  - ▶ 「探索時間」："result = solver.solve(model)" でかかる時間
  - ▶ 「解析時間」：出力結果のデコード, 結果に基づく厳密なコストの計算
- ▶ 準備時間が大きく増える傾向にあった

N	5	10	15	20
準備時間(s)	0.013 (0.004)	0.473 (0.194)	3.607 (1.232)	25.818 (13.732)
探索時間(s)	1.316 (0.377)	1.191 (0.053)	1.436 (0.248)	1.886 (0.497)
解析時間(s)	0.001 (0.000)	0.003 (0.000)	0.005 (0.001)	0.006 (0.000)

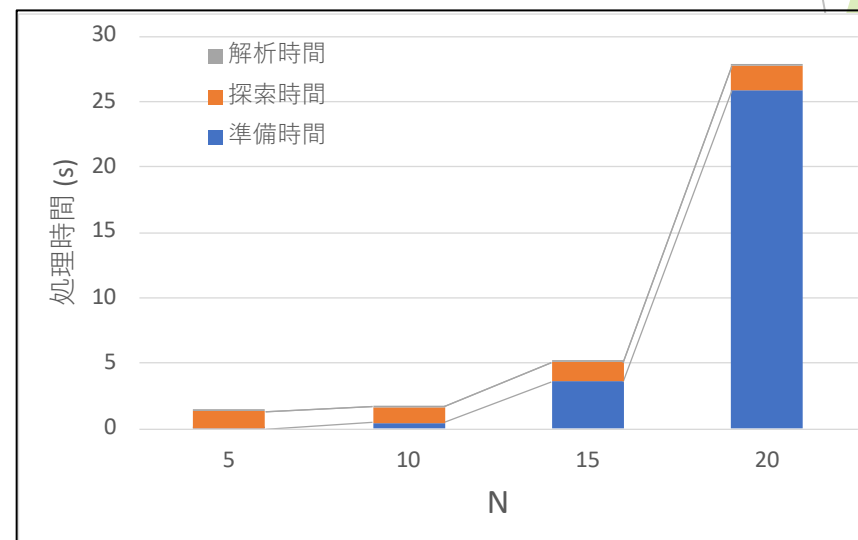


表 / 図：実行時間の内訳。  $N$  が大きくなるにつれて準備時間が増える傾向が見てとれる。  
カッコ内は(不偏)標準偏差。

# 評価：実行時間の見積もり

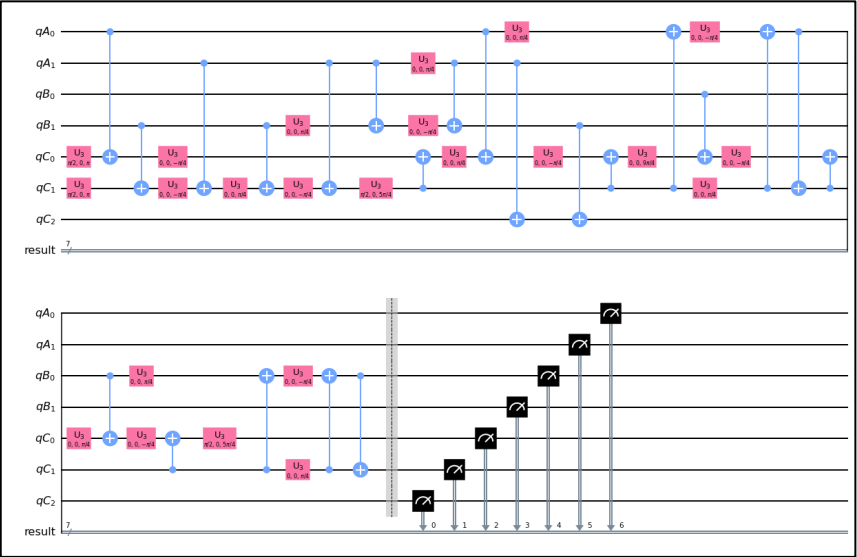
- ▶ 探索にかかる時間は固定だが、制約条件とコスト関数が  $O(MN^3)$  項あるため古典計算がオーバーヘッドとなり、全体的で  $O(MN^3)$  となると推測される
- ▶ といっても、古典的解法は  $O(M \cdot (N!)^2)$  なので飛躍的向上と言える
- ▶  $N = 50$  (現時点での最大級の量子ビット数) でも数分あれば計算できるはず

# 第五章 実問題への応用



# OpenQASMとの連携

- ▶ 1入力と2入力ゲートに展開した後の回路は「OpenQASM」という言語で記述される
- ▶ 下の例では, 1入力ゲートは "u3", 2入力ゲートは "cx" に対応している



図：展開した後の回路.

<pre>... u3(pi/2,0,pi) qC[0]; cx qA[0],qC[0]; u3(0,0,-pi/4) qC[0]; u3(pi/2,0,pi) qC[1]; cx qB[1],qC[1]; u3(0,0,-pi/4) qC[1]; cx qA[1],qC[1]; u3(0,0,pi/4) qC[1]; cx qB[1],qC[1]; u3(0,0,pi/4) qB[1]; u3(0,0,-pi/4) qC[1]; cx qA[1],qC[1]; cx qA[1],qB[1]; u3(0,0,pi/4) qA[1]; u3(0,0,-pi/4) qB[1];</pre>	<pre>cx qA[1],qB[1]; u3(pi/2,0,5*pi/4) qC[1]; cx qC[1],qC[0]; u3(0,0,pi/4) qC[0]; cx qA[0],qC[0]; u3(0,0,pi/4) qA[0]; u3(0,0,-pi/4) qC[0]; cx qC[1],qC[0]; u3(0,0,9*pi/4) qC[0]; cx qB[0],qC[0]; u3(0,0,-pi/4) qC[0]; cx qC[1],qA[0]; u3(0,0,-pi/4) qA[0]; u3(0,0,pi/4) qC[1]; cx qC[1],qA[0]; cx qA[0],qC[1];</pre>	<pre>cx qC[1],qC[0]; u3(0,0,pi/4) qC[0]; cx qB[0],qC[0]; u3(0,0,pi/4) qB[0]; u3(0,0,-pi/4) qC[0]; cx qC[1],qC[0]; u3(pi/2,0,5*pi/4) qC[0]; cx qC[1],qB[0]; u3(0,0,-pi/4) qB[0]; u3(0,0,pi/4) qC[1]; cx qC[1],qB[0]; cx qB[0],qC[1]; cx qA[1],qC[2]; cx qB[1],qC[2]; ...</pre>
--	--	---

図：出力されるOpenQASMプログラム.

# 回路ビジュアライザ

▶ まだ途中